

РЕЖИМЫ ТЕЧЕНИЯ КУЭТТА С ТЕПЛОПЕРЕДАЧЕЙ В РАЗРЕЖЕННОМ ГАЗЕ

А. А. Абрамов*, А. В. Бутковский**

Центральный аэрогидродинамический институт им. проф. Н. Е. Жуковского
140180, Жуковский, Московская обл., Россия

Поступила в редакцию 26 ноября 2012 г.

На основе численного решения уравнения Больцмана методом прямого статистического моделирования исследовано течение Куэтта с теплопередачей в широком диапазоне отношения температур пластин и чисел Маха движущейся пластины. Предложена классификация режимов течения по виду зависимостей потока энергии и напряжения трения от числа Кнудсена K_n . Эти зависимости могут быть одновременно монотонны, а могут быть одновременно немонотонны и иметь максимумы. Возможны ситуации, при которых зависимость потока энергии, передаваемой пластине, от K_n имеет минимум, а зависимость напряжения трения монотонна или даже имеет максимум. Существуют также режимы, при которых зависимость потока энергии от K_n имеет максимум, а зависимость напряжения трения монотонна, и наоборот.

DOI: 10.7868/S0044451013060207

1. ВВЕДЕНИЕ

Задача Куэтта о течении и теплопередаче между параллельными бесконечными пластинами, движущимися в разреженном газе друг относительно друга, исследовалась многими авторами. На этой задаче опробованы основные методы решения уравнения Больцмана. Кроме того, задача интересна сама по себе как пример совместного влияния числа Кнудсена K_n , числа Маха M и температур поверхностей на течение разреженного газа. Результаты исследований течения Куэтта в переходном режиме представлены в работах [1–6]. Среди полученных результатов можно выделить ряд эффектов: немонотонность по K_n напряжения трения [2] и потока энергии, передаваемого пластине [3, 4] при больших числах Маха, а также эффект изменения знака потока энергии при изменении числа Кнудсена [5]. Однако всестороннего исследования течения Куэтта в известной литературе не проводилось. В данной работе продолжено изучение влияния параметров задачи на характер течения и проведена систематизация различных режимов течения Куэтта в разреженном газе с целью построения общей картины влияния чисел Ма-

ха, Кнудсена и отношения температур пластин на поток энергии, передаваемой пластине, и напряжение трения.

2. ПОСТАНОВКА ЗАДАЧИ

Для исследования возникающего в задаче Куэтта стационарного течения необходимо решить уравнение Больцмана

$$\xi_x \frac{df}{dx} = J(f, f) \quad (1)$$

с граничными условиями для функции распределения молекул на пластинах:

$$f = n_{r1} (2\pi RT_1)^{-3/2} \exp \left[-\frac{\xi_x^2 + \xi_y^2 + \xi_z^2}{2RT_1} \right], \quad (2)$$

$$\xi_x > 0, \quad x = 0,$$

$$f = n_{r2} (2\pi RT_2)^{-3/2} \exp \left[-\frac{\xi_x^2 + (\xi_y - U)^2 + \xi_z^2}{2RT_2} \right], \quad (3)$$

$$\xi_x < 0, \quad x = 1.$$

Здесь $J(f, f)$ — интеграл столкновений молекул [1]; ξ_x, ξ_y, ξ_z — декартовы компоненты скорости молекул, причем ξ_x направлена перпендикулярно граничным поверхностям; поперечная координата x

*E-mail: alabr54@progttech.ru

**E-mail: albutkov@mail.ru

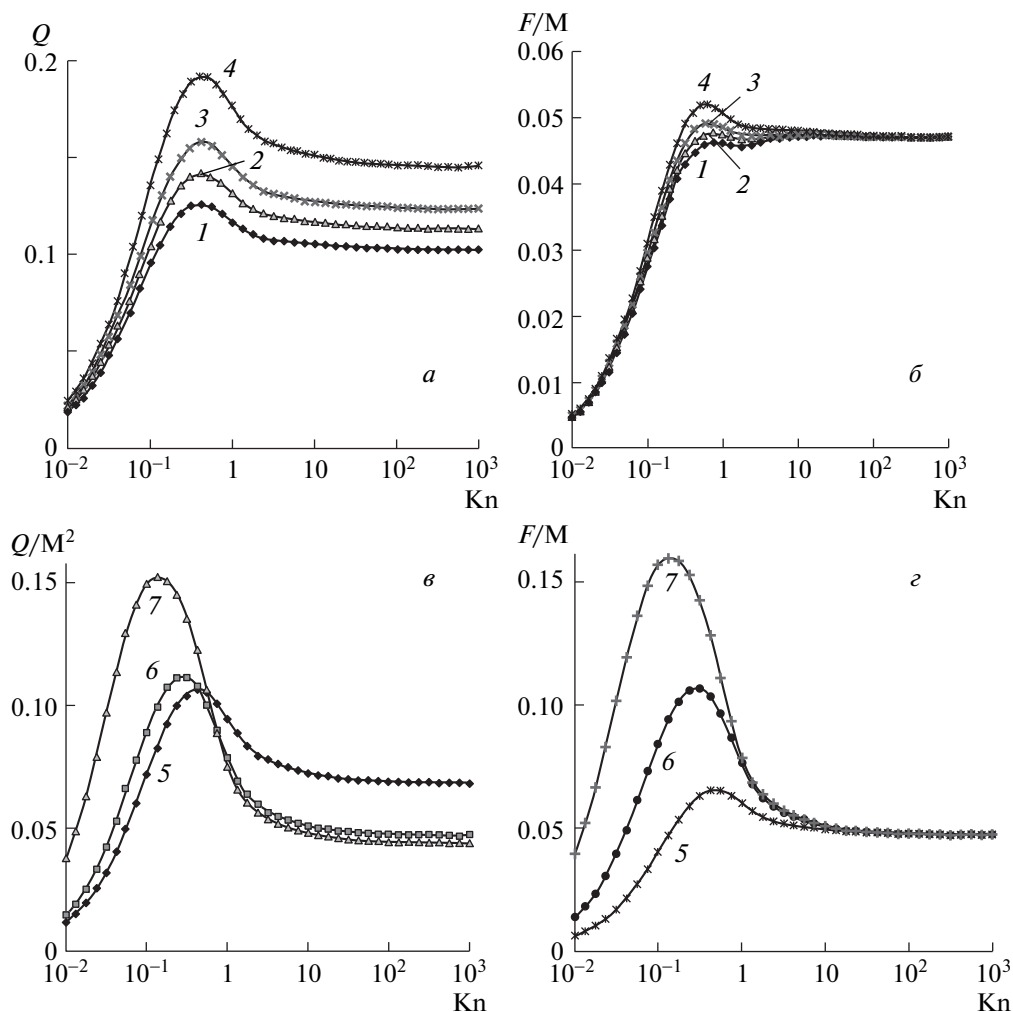


Рис. 1. Зависимости потока энергии, передаваемой неподвижной пластине, (а, в) и напряжения трения (б, г) от числа Кнудсена. $t = 0.01$; $M = 0.05$ (1), 0.5 (2), 0.7 (3), 1 (4), 2 (5), 5 (6), 10 (7)

нормирована на расстояние между пластинами L ; T_1, T_2 — температуры пластин; n_{r1} и n_{r2} — параметры функции распределения, соответствующие отраженным молекулам, которые находятся из условия баланса падающих и отраженных молекул; $U = U_2$ — скорость движения одной пластины (другая пластина неподвижна: $U_1 = 0$); R — газовая постоянная. Предполагается, что отражение молекул от пластин происходит диффузно с максвелловским распределением, соответствующим температуре поверхности. Для решения задачи (1)–(3) необходимо задать среднюю плотность газа между пластинами n_{aver} и закон взаимодействия молекул при столкновении друг с другом. Среди макропараметров наибольший интерес представляют поток энергии, передаваемой пластине, и напряжение трения. Обозна-

чим через Q безразмерную разность потоков энергии молекул, падающих на поверхность неподвижной пластины и отраженных ею, и через F — безразмерное напряжение трения:

$$Q = \frac{E}{kT_2cn_{aver}}, \quad E = - \int \xi_x \frac{m\xi^2}{2} f(\xi) d\xi,$$

$$c = \sqrt{\frac{2kT_2}{m}}, \quad M = \frac{U_2}{\sqrt{kRT_2}}, \quad t = \frac{T_1}{T_2},$$

$$F = \frac{|P_{xy}|}{2kT_2n_{aver}}, \quad P_{xy} = \int m\xi_x \xi_y f(\xi) d\xi,$$

где k — постоянная Больцмана, m — масса молекулы. Положительным направлением потока энергии выбрано направление от движущейся пластины к неподвижной.

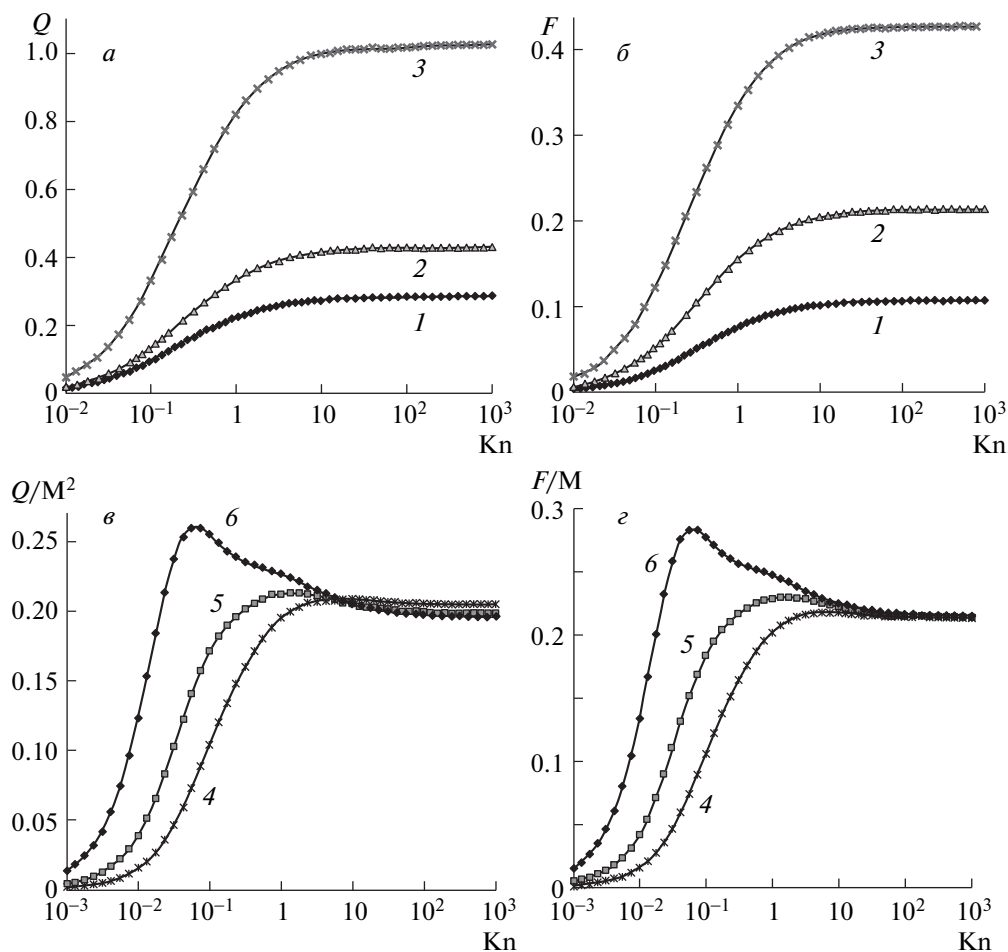


Рис. 2. Зависимости потока энергии, передаваемой неподвижной пластине, (а, в) и напряжения трения (б, г) от числа Кнудсена. $t = 0.5$; $M = 0.5$ (1), 1 (2), 2 (3), 5 (4), 10 (5), 20 (6)

3. МЕТОД РЕШЕНИЯ

Для решения задачи методом прямого статистического моделирования применялась процедура установления с некоторым достаточно малым шагом по времени Δt . При этом пространство между плоскостями $x = 0$ и $x = 1$ разбивалось на ячейки размером, меньшим длины свободного пробега молекул. Внутри ячеек плотность, скорость и температура газа считались постоянными. В ячейки помещались моделирующие течение молекулы. В эволюции системы частиц на временном интервале Δt , меньшем среднего времени между столкновениями молекул, можно выделить два этапа: 1) свободный перелет молекул за время Δt ; 2) столкновение молекул, принадлежащих данной ячейке [7]. Макропараметры в ячейках вычислялись путем усреднения по времени вдоль траекторий молекул соответствующих микро-

скопических величин [8]. Расчеты проводились для модели молекул в виде псевдомаксвелловских сфер с сечением взаимодействия $\sigma = \sigma_0/g$, где σ_0 — постоянная, g — относительная скорость сталкивающихся молекул. Безразмерный поток энергии, передаваемой пластине, и безразмерное напряжение трения зависят от числа Маха M движущейся пластины, отношения температур пластин и числа Кнудсена $Kn = \lambda/L$, где λ — характерная длина свободного пробега молекул. Для модели псевдомаксвелловских молекул $\lambda = c(n_{aver}\sigma_0)^{-1}$.

4. АНАЛИЗ ПОЛУЧЕННЫХ РЕЗУЛЬТАТОВ

В работе [5] показано, что при $t \ll 1$ и $M = 0$ немонотонность зависимости $Q(Kn)$ возрастает с уменьшением t , достигая при $t = 0.001$ несколь-

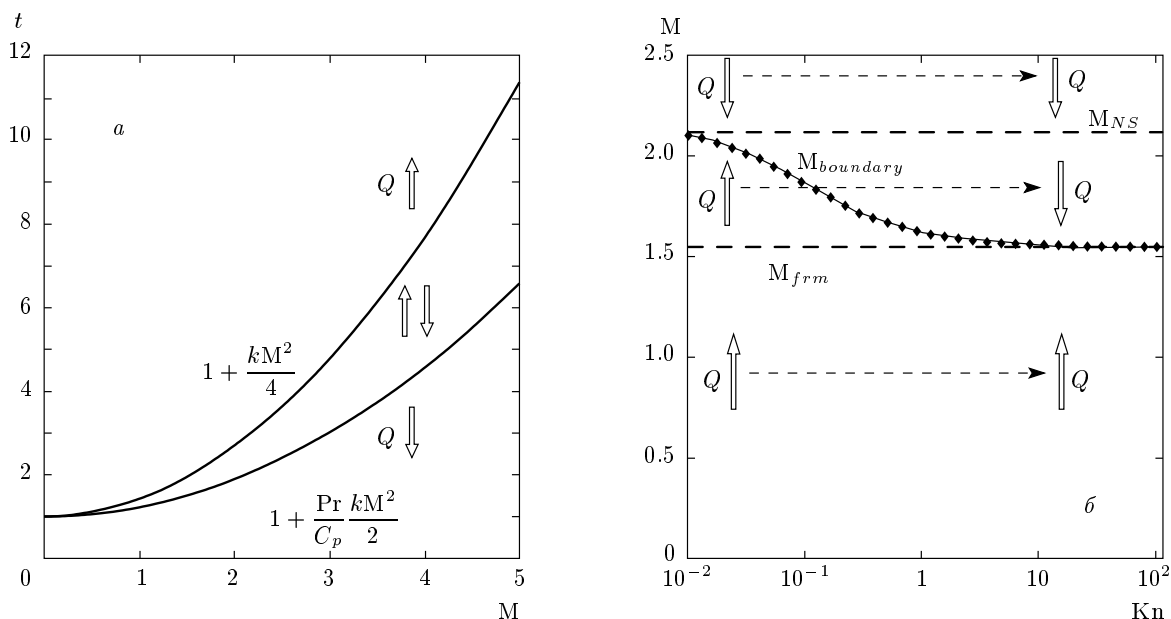


Рис. 3. Области с различными направлениями потока энергии: *a* — плоскость (M, t) , *б* — плоскость (Kn, M) при $t = 2$

ких сот процентов. Эта немонотонность аналогична немонотонности силы, действующей на пластину в гиперзвуковом потоке разреженного газа, и связана с наличием в газе двух групп молекул с существенно различающимися средними скоростями молекул [1]. Существующая при $M = 0$ немонотонность $Q(Kn)$, естественно, должна сохраниться при $M > 0$. Однако, поскольку в обеих группах молекул средний продольный импульс имеет один и тот же порядок, зависимость $F(Kn)$ при $M \ll 1$ не должна иметь выраженного экстремума.

На рис. 1 приведены зависимости $Q(Kn)$ и $F(Kn)$ при $t = 0.01$ и различных значениях M . Как видно из графиков, при малых числах Маха напряжение трения, в отличие от потока энергии, возрастает почти монотонно. Здесь и в дальнейшем под монотонностью будем понимать монотонность с графической точностью. Как видно на рис. 1б, при $M = 1$ зависимость $F(Kn)$ имеет выраженный максимум, лежащий выше свободномолекулярного предела. По мере возрастания числа Маха этот максимум увеличивается

На рис. 1в,г видно, что при $M \gg 1$ обе зависимости, как и следовало ожидать, приобретают ярко выраженные максимумы.

Зависимости $Q(Kn)$ и $F(Kn)$ при $t = 0.5$ и различных числах Маха приведены на рис. 2. Как и следовало ожидать, исходя из результатов [2, 5], при

числах Маха, меньших или порядка единицы, обе зависимости монотонны, а при $M \gg 1$ обе имеют максимумы.

В работе [5] показано, что при $t > 1$ число Маха влияет на характер зависимости $Q(Kn)$ иначе, чем при $t \leq 1$. Это связано с тем, что при $t > 1$ поток энергии, передаваемой неподвижной пластине, при некотором числе Маха становится равным нулю.

В пределе Навье–Стокса (NS) [9] $Q < 0$ при $M < M_{NS}$, $Q > 0$ при $M > M_{NS}$, где

$$M_{NS} = \sqrt{\frac{2C_p(t-1)}{kPr}}, \quad Pr = \frac{2}{3}, \quad C_p = \frac{5}{2}.$$

С другой стороны, в свободномолекулярном пределе $Q < 0$ при $M < M_{frm}$, $Q > 0$ при $M > M_{frm}$, где

$$M_{frm} = 2\sqrt{\frac{t-1}{k}}.$$

Значение $M_{boundary}$ числа Маха, при котором поток энергии на неподвижную пластину меняет знак, зависит от числа Кнудсена и отношения температур пластин и находится в диапазоне $M_{frm} < M_{boundary} < M_{NS}$. Таким образом, плоскость (M, t) делится на три части, при этом в двух из них знак потока энергии постоянен, а в третьей зависит от числа Kn . Эти области показаны на рис. 3а.

Кривая $M_{boundary}(Kn)$, разделяющая области знакопостоянства потоков энергии на неподвижную пластину при $t = 2$ приведена на рис. 3б.

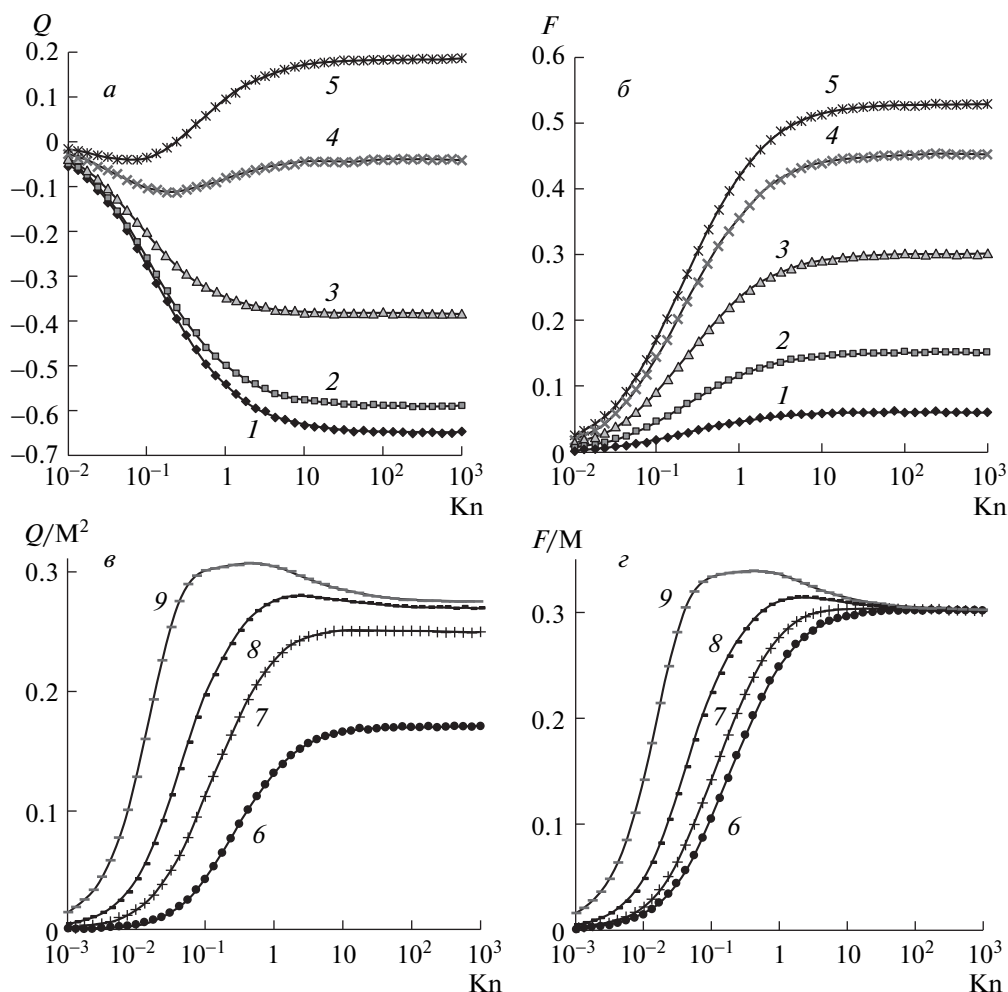


Рис. 4. Зависимости потока энергии, передаваемой неподвижной пластине, (а, в) и напряжения трения (б, г) от числа Кнудсена. $t = 2$; $M = 0.2$ (1), 0.5 (2), 1 (3), 1.5 (4), 1.75 (5), 2.5 (6), 5 (7), 10 (8), 20 (9)

Как видно из графика, при $M_{frm} < M_{boundary} < M_{NS}$ увеличение числа Кнудсена может приводить к изменению знака потока энергии на неподвижную пластину.

На рис. 4 представлены зависимости $Q(Kn)$ и $F(Kn)$ при $t = 2$ и различных значениях M . Как видно из графиков, вначале увеличение числа Маха не приводит к изменению вида кривых $Q(Kn)$. Однако при увеличении M до значений, при которых $Q(0.5)$ приблизительно равно свободномолекулярному значению потока энергии, зависимость $Q(Kn)$ становится немонотонной. Модуль потока энергии сначала с увеличением Kn возрастает, как и следовало ожидать, в соответствии с элементарной кинетической теорией для режимов течения, близких к режиму течения в сплошной среде [1]. Затем, достигнув максимума в переходной области, он начинает уменьшаться, приближаясь к свободномолекулярно-

му пределу. При $M > M_{frm}$ этот предел положителен и увеличение числа Кнудсена приводит к тому, что при $M_{frm} < M < M_{NS}$ поток энергии, передаваемой пластине, меняет знак. При $M > M_{NS}$ зависимость $Q(Kn)$ вначале вновь становится монотонной, а затем, когда M достигает значений, много больших единицы, у этой зависимости возникает максимум. В то же время зависимость $F(Kn)$ становится немонотонной лишь при $M \gg 1$.

На рис. 5, 6 представлены зависимости $Q(Kn)$ и $F(Kn)$ при $t = 100$ и различных значениях M .

Как видно из графиков, функция $Q(Kn)$ существенно немонотонна при всех рассмотренных значениях M , за исключением узкой области около M_{NS} , в которой она близка к монотонной. Напряжение трения $F(Kn)$ существенно немонотонно всюду за исключением области $M \ll 1$.

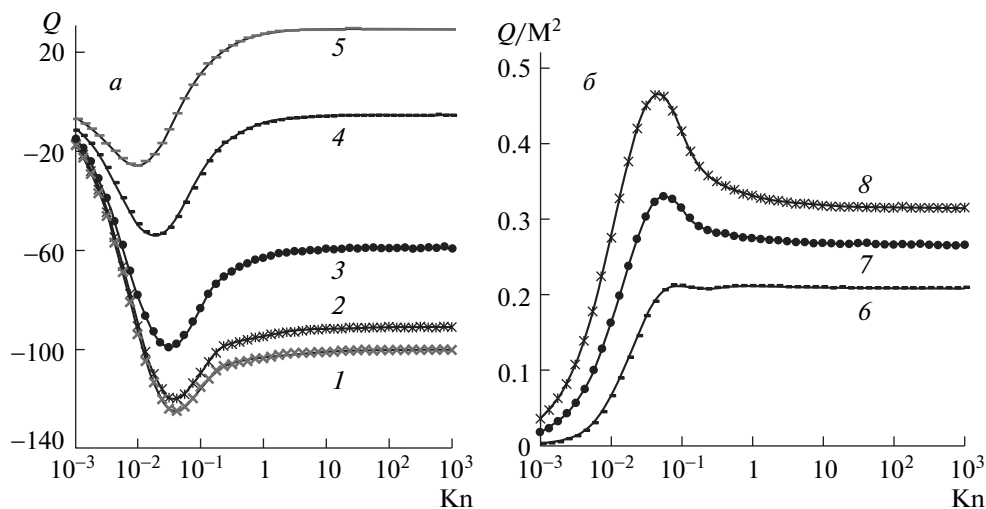


Рис. 5. Зависимости потока энергии, передаваемой неподвижной пластине, от числа Кнудсена. $t = 100$; $M = 2$ (1), 5 (2), 10 (3), 15 (4), 17.5 (5), 21.5 (6), 25 (7), 30 (8)

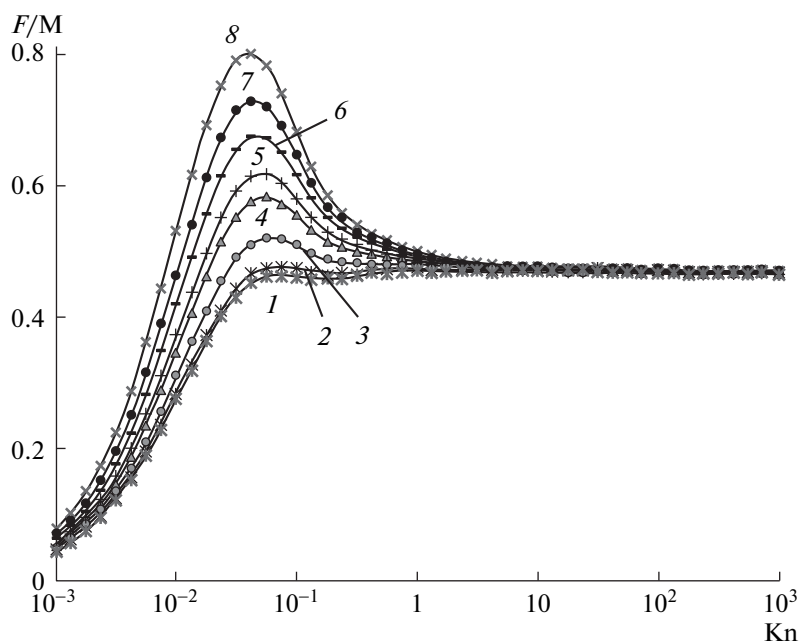


Рис. 6. Зависимости напряжения трения от числа Кнудсена. $t = 100$; $M = 2$ (1), 5 (2), 10 (3), 15 (4), 17.5 (5), 21.5 (6), 25 (7), 30 (8)

5. СИСТЕМАТИЗАЦИЯ РЕЖИМОВ ТЕЧЕНИЯ КУЭТТА

Исходя из анализа результатов расчетов, проведенных в данной работе и в работах [2–5], на плоскости (M, t) можно выделить следующие шесть областей с различным видом зависимостей $Q(Kn)$ и $F(Kn)$.

1. Области параметров (M, t) , при которых поток энергии, передаваемой пластине, $Q(Kn)$ и напряжение трения $F(Kn)$ монотонно (как минимум, с графической точностью — 2%) возрастают при увеличении числа Кнудсена.

1а. $0.01 \ll t \leq 1$ и M меньше или порядка единицы. В этой области $Q(Kn) > 0$.

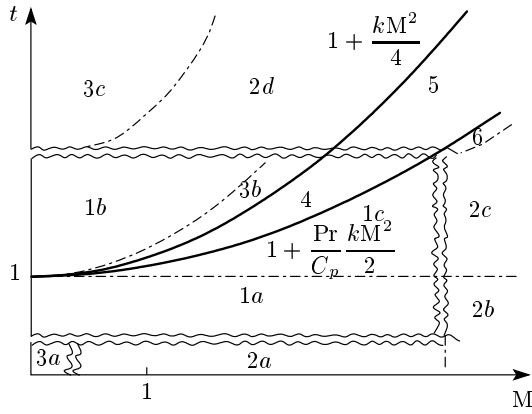


Рис. 7. Режимы течения Куэтта на плоскости (M, t)

1b. $1 < t \ll 100$ и $M < M_Q(t)$, где $M_Q < M_{frm}$; $Q(Kn) < 0$.

1c. $1 < t \ll 100$ и $M_{NS}(t) < M \ll 10$; $Q(Kn) > 0$.

2. Области, в которых $Q(Kn)$ и $F(Kn)$ немонотонны.

2a. $t \ll 1$, $M \gtrsim 1$; $Q(Kn) > 0$.

2b. $t < 1$, $M \gg 1$; $Q(Kn) > 0$.

2c. $t > 1$, $M \gg 1$, $M > M_{NS}$; $Q(Kn) > 0$.

2d. $t \gg 1$ и $M_F(t) < M < M_{frm}$, где $M_F(t)$ — возрастающая функция; $Q(Kn) < 0$.

3. Области, в которых функция $Q(Kn)$ существенно немонотонна, а $F(Kn)$ монотонна или близка к монотонной.

3a. $t \ll 1$, $M \ll 1$; $Q(Kn) > 0$.

3b. $1 < t \ll 100$, $M_{nonmon} < M < M_{frm}$; $Q(Kn) < 0$.

3c. $t \gg 1$ и $M < M_F(t)$; $Q(Kn) < 0$.

4. Область, в которой функция $Q(Kn)$ немонотонна и знакопеременна, а $F(Kn)$ монотонна: $1 < t \ll 100$ и $M_{frm} < M < M_{NS}$.

5. Область, в которой $Q(Kn)$ немонотонна и знакопеременна, а $F(Kn)$ немонотонна: $t \gg 1$ и $M_{frm} < M < M_{NS}$.

6. Область, в которой $Q(Kn)$ близка к монотонной, а $F(Kn)$ существенно немонотонна: $t \gg 1$, $M \approx M_{NS}$; $Q(Kn) > 0$.

Эти области условно изображены на рис. 7.

6. ЗАКЛЮЧЕНИЕ

На основе анализа поведения зависимостей теплового потока, передаваемого пластине, и напряжения трения от числа Кнудсена проведена систематизация решений задачи Куэтта с теплопередачей в разреженном газе.

Работа выполнена при финансовой поддержке РФФИ (грант № 11-08-00-832).

ЛИТЕРАТУРА

1. М. Н. Коган, *Динамика разреженного газа*, Наука, Москва (1967).
2. Е. М. Шахов, *МЖГ* № 5, 16 (1969).
3. А. К. Rebrov and P. A. Skovorodko, in *Rarefied Gas Dynamics-1996, 20th Int. Symposium Proc.*, ed. by Ching Shen, Peking Univ. Press, Beijing, China (1997), p. 215.
4. P. A. Skovorodko, in *Rarefied Gas Dynamics-2000, 22nd Int. Symposium*, ed. by T. J. Bartel and M. A. Gallis, American Institute of Physics, Melville, New York (2001), p. 182.
5. А. А. Абрамов, А. В. Бутковский, *МЖГ* № 1, 167 (2010).
6. В. Г. Черняк, А. Ф. Поликарпов, *ЖЭТФ* **137**, 165 (2010).
7. О. М. Белоцерковский, В. Е. Яницкий, *Ж. вычислит. матем. и матем. физ.* **15**, 1195 (1975), *ibid* 1553 (1975).
8. А. А. Абрамов, *ДАН СССР* **271**(2), 315 (1983).
9. А. А. Абрамов, Н. К. Макашев, *Уч. зап. ЦАГИ* **10**(5), 35 (1979).